

* Autor para correspondência.

E-mail: cssouza@fmrp.usp.br (C.S. Souza).

Recebido em 3 de setembro de 2022; aceito em 14 de dezembro de 2022

<https://doi.org/10.1016/j.abdp.2024.04.010>

2666-2752/ © 2024 Sociedade Brasileira de Dermatologia.
Publicado por Elsevier España, S.L.U. Este é um artigo Open Access sob uma licença CC BY (<http://creativecommons.org/licenses/by/4.0/>).

Monilétrix autossômico dominante com penetrância incompleta: nova mutação KRT86 em família chinesa^{☆,☆☆}



Prezado Editor,

Moniletrix (OMIM 158000), também conhecido como cabelo em «contas de rosário», é doença capilar hereditária rara caracterizada por hastes capilares anormais com nós e entrenós periódicos, fragilidade capilar, hiperceratose folicular e cabelo escasso.¹ Classicamente, é causada por mutações autossômicas dominantes nos genes básicos da queratina capilar *KRT86*, *KRT83* e *KRT81*.² Raramente, a mutação autossônica recessiva no gene *DSG4* pode contribuir para a doença.³ Os autores apresentam uma família chinesa de duas gerações com moniletrix autossômico dominante decorrente de nova mutação heterozigótica missense em *KRT86* (c.1226T>C, p.Leu409Pro).

A probanda (II-2) era uma mulher de 30 anos. Ela desenvolveu cabelos esparsos, curtos e frágeis, com queda de cabelo desde a infância (fig. 1A). Havia numerosas pápulas foliculares ceratóticas na região occipital (fig. 1B). O exame secundário de cabelos, sobrancelhas, cílios, unhas e o exame sistêmico foram todos normais. O exame dermatoscópico mostrou nódulos e aspecto em contas de rosário típicos (fig. 1C). Sob microscopia óptica, a haste do cabelo apresentava nódulos elípticos característicos e constrição intermitente (fig. 2A). A microscopia eletrônica de varredura revelou que o cabelo cilíndrico tinha estrutura segmentar com nódulos periódicos e partes estreitas; a largura dos nódulos variava de 0,09 a 0,11 mm, e a largura da constrição era de 0,05 a 0,08 mm. A crista longitudinal paralela e o sulco podiam ser vistos na superfície assemelhando o aspecto de uma casca de árvore, e no corte transversal a estrutura assemelhava a uma erosão (fig. 2B). O exame histopatológico do couro cabeludo afetado mostrou hiperceratose, diminuição dos folículos pilosos, e infiltrado inflamatório mononuclear ao redor do orifício folicular e formando tampões foliculares (fig. 3).

O pai da paciente, de 58 anos, também apresentava queda de cabelo perceptível com pápulas foliculares menos

marcadas (fig. 4A-B). A dermatoscopia revelou fragilidade e quebra do cabelo (fig. 4C). O irmão mais novo da paciente, de 17 anos, nasceu com cabelos de aspecto normal, embora também fossem ásperos e sem brilho, com leve hiperceratose folicular no couro cabeludo. A dermatoscopia revelou cabelos moniliformes aparentes. A mãe da paciente apresentava cabelos normais ao exame clínico e dermatoscópico.

Após obtenção do consentimento informado por escrito, amostras de sangue periférico foram coletadas da família para sequenciamento total do exoma (WES, do inglês *whole-exome sequencing*). O resultado do WES mostrou nova mutação missense em heterozigose (c.1226T>C, p.Leu409Pro) no exón 7 do gene *KRT86* em todos os três membros afetados da família (fig. 5), que resultou em substituição de leucina por prolina.

Moniletrix é um defeito estrutural da haste do cabelo, geralmente causado por mutações nos genes que codificam as queratinas do cabelo. Entre esses *hot spots*, *KRT86* e *KRT81* são os mais comuns no moniletrix.⁴ No presente estudo, a mutação identificada c.1226T>C em *KRT86* leva à substituição de leucina por prolina, podendo afetar a estrutura e a estabilidade do filamento intermediário da queratina. A análise de patogenicidade não foi relatada anteriormente na base de dados da literatura ou na base de dados ClinVar. Que seja de conhecimento dos autores, esta é também a primeira vez que a mutação foi demonstrada para o moniletrix, o que amplia o espectro das mutações do *KRT86*. Entretanto, os mecanismos precisos para o cabelo moniliforme ainda não foram elucidados. A penetrância incompleta foi característica marcante do moniletrix nessa família. Entre os membros da família afetados, a gravidade do fenótipo pode variar desde alopecia extrema até aparência normal do cabelo.⁵ No presente estudo, os autores apresentam uma família com moniletrix na qual, entre três parentes, apenas a filha e o pai apresentavam hipotriose, e o irmão era clinicamente normal. A dermatoscopia confirmou cabelos moniliformes no irmão. A diferença de apresentação no presente estudo apoia a diversidade clínica do moniletrix.

Os autores apresentam no presente trabalho uma nova mutação c.1226T>C no exón 7 do *KRT86* em uma família chinesa de duas gerações com moniletrix.

Suporte financeiro

Esta pesquisa recebeu suporte financeiro da Natural Science Foundation of China (nº 82103754).

Contribuição dos autores

Ru Dai: Contribuições substanciais para a concepção do manuscrito, obtenção, análise e interpretação dos dados;

DOI do artigo original: <https://doi.org/10.1016/j.abdp.2022.12.010>

☆ Como citar este artigo: Westin AT, Barros Junior SA, Souza CS. Amelanotic melanoma with neural lesion simulating leprosy. An Bras Dermatol. 2024;99:608-10.

☆☆ Trabalho realizado no Departamento de Dermatologia, Zhejiang University School of Medicine Second Affiliated Hospital, Hangzhou, Zhejiang, China.

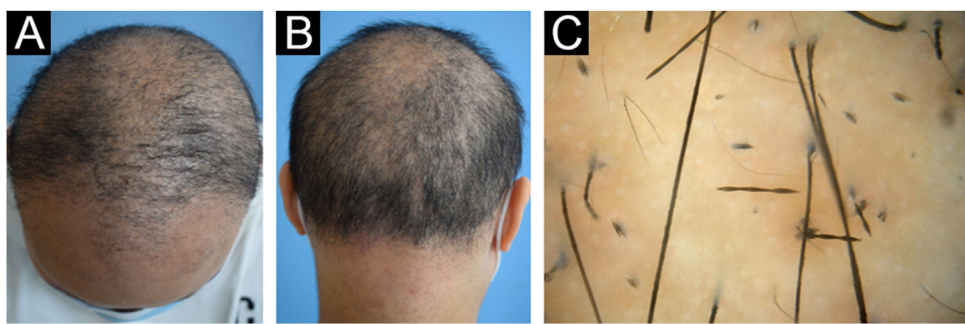


Figura 1 Características clínicas e dermatoscopia da probanda. O probando exibia cabelos ralos (A) e hiperceratose folicular (B). (C) A dermatoscopia do probando mostrou aspecto em contas de rosário e nódulos típicos.



Figura 2 Microscopia óptica e microscopia eletrônica de varredura da probanda. (A) O exame da haste capilar do probando com microscópico óptico mostrou nódulos elípticos característicos e constrição intermitente. (B) A microscopia eletrônica de varredura revelou que o cabelo cilíndrico tinha estrutura segmentar com nódulos periódicos e partes estreitas.

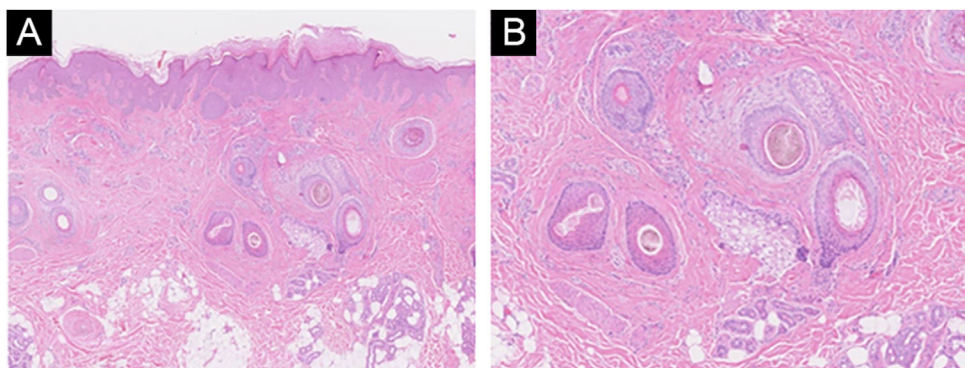


Figura 3 Histopatologia da probanda. O exame histopatológico do couro cabeludo afetado mostrou hiperceratose, diminuição de folículos pilosos, infiltrado inflamatório mononuclear ao redor do orifício folicular e formação de tampões (Hematoxilina & eosina, 50 × [A], 100 × [B]).

elaboração e submissão do manuscrito; leitura e aprovação do manuscrito final.

Tingting Wang: Concepção e revisão do manuscrito; obtenção, análise e interpretação dos dados; leitura e aprovação do manuscrito final.

Xianjie Wu: Revisão das imagens histológicas, dermatoscópicas e de microscopia eletrônica de varredura; revisão do manuscrito final e aprovação da versão final a ser submetida.

Conflito de interesses

Nenhum.

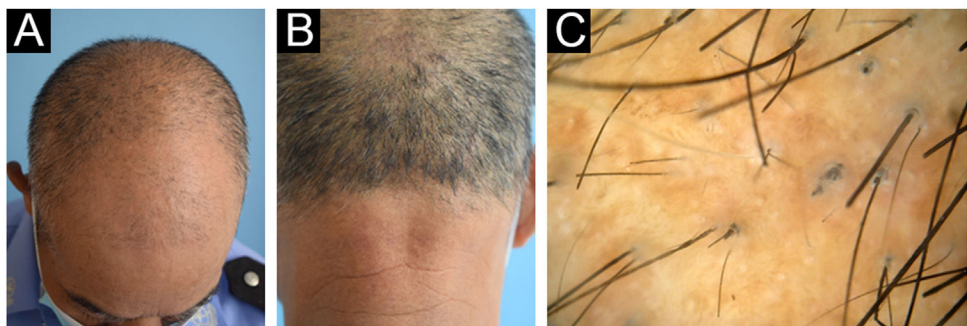


Figura 4 Características clínicas e dermatoscópicas do pai. Notam-se cabelos ralos (A) sem hiperceratose folicular (B). (C) A dermatoscopia revelou fragilidade e quebra dos cabelos.

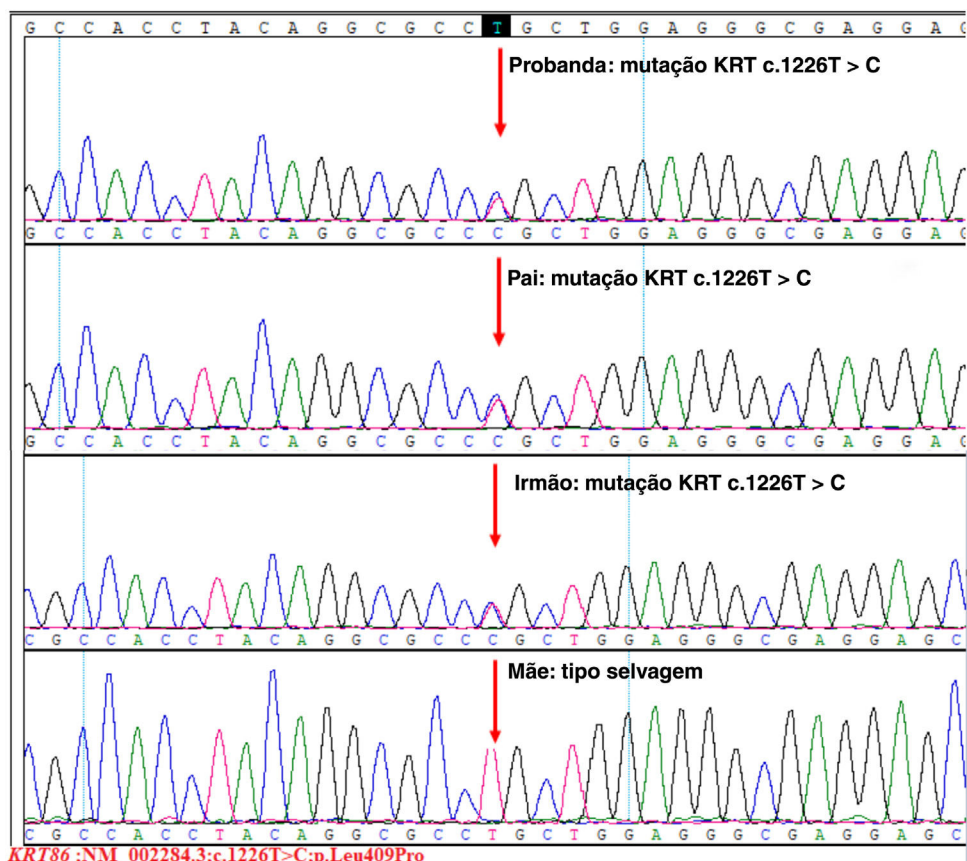


Figura 5 Sequência da mutação em heterozigose em *KRT86*. A probanda, seu pai e seu irmão tinham mutação em heterozigose de T para C (c.1226T>C, p.Leu409Pro) no exôn 7 de *KRT86*. A sequência da mãe era normal.

Referências

- Winter H, Rogers MA, Langbein L, Stevens HP, Leigh IM, Labrèze C, et al. Mutations in the hair cortex keratin hHb6 cause the inherited hair disease monilethrix. *Nat Genet*. 1997;16:372–4.
- Shimomura Y. Congenital hair loss disorders: rare, but not too rare. *J Dermatol*. 2012;39:3–10.
- Zhou C, Wang P, Yang D, Liao W, Guo Q, Li J, et al. Autosomal recessive monilethrix: novel variants of the DSG4 gene in three Chinese families. *Mol Genet Genomic Med*. 2022;10:e1889.
- Horev L, Djabali K, Green J, Sinclair R, Martinez-Mir A, Ingber A, et al. De novo mutations in monilethrix. *Exp Dermatol*. 2003;12:882–5.
- De Cruz R, Horev L, Green J, Babay S, Sladden M, Zlotogorski A, et al. A novel monilethrix mutation in coil 2A of KRT86 causing autosomal dominant monilethrix with incomplete penetrance. *Br J Dermatol*. 2012;166:20–6.

Ru Dai , Tingting Wang e Xianjie Wu *

Departamento de Dermatologia, Zhejiang University School of Medicine Second Affiliated Hospital, Hangzhou, Zhejiang, China

<https://doi.org/10.1016/j.abdp.2024.04.002>
2666-2752/ © 2024 Sociedade Brasileira de Dermatologia. Publicado por Elsevier España, S.L.U. Este é um artigo Open Access sob uma licença CC BY (<http://creativecommons.org/licenses/by/4.0/>).

* Autor para correspondência.

E-mail: wuxianjie@zju.edu.cn (X. Wu).

Recebido em 26 de outubro de 2022; aceito em 3 de dezembro de 2022

Dermatoscopia do tofo gotsoso nasal e auricular^{☆,☆☆}



Prezado Editor,

Paciente do sexo masculino, 62 anos, hipertenso, ex-eticista, portador de gota havia aproximadamente 20 anos e em tratamento irregular com allopurinol e colchicina. Apresentava lesão nodular de consistência firme e indolor no dorso nasal com um ano de evolução, que progrediu com ulceração. Ao exame dermatológico, notavam-se pápulas amareladas nas hélices (fig. 1) e aumento de volume nas articulações das mãos, cotovelos, joelhos e pés. A dermatoscopia da lesão nasal evidenciou área branca amorfa central, com áreas amareladas entremeadas por estruturas polimórficas brancas brilhantes na periferia da lesão, além de eritema difuso e vasos ramificados periféricos (fig. 2). O exame dermatoscópico das lesões das hélices mostrou, predominantemente, estruturas globulares branco-amareladas agregadas (fig. 3), com vasos ramificados atravessando a lesão e na periferia da mesma (fig. 3A). Em outras lesões da hélice direita, diferentemente dos achados anteriores, observava-se área bran-

-amarelada amorfa (fig. 4A) ou fundo branco-amarelado amorfo com vasos ramificados desfocados dispersos sobre a lesão (fig. 4B-C). Também nesse mesmo local pode se observar lesão com área branca amorfa, centro amarelado e eritema difuso periférico, semelhante à lesão nasal (fig. 4D). Nos exames laboratoriais, o paciente apresentava anemia com marcadores inflamatórios elevados, redução da função renal e ácido úrico sérico elevado (7,8 mg/dL, VR: 3,5-7,2 mg/dL). No entanto, o ácido úrico urinário estava dentro do valor da normalidade (378,4 mg/24 h - VR: 250-750 mg/24 h). O exame histopatológico da lesão do dorso nasal mostrou depósitos eosinofílicos amorfos ou de aspecto cristaloide na derme com aparência de agulhas, correspondendo a agregados de cristais de urato monossódico envoltos por infiltrado inflamatório granulomatoso, compatível com o diagnóstico de tofo gotsoso (fig. 5).

Discussão

A gota é a artrite inflamatória mais comum, causada pelo depósito de cristais de urato monossódico nas articulações.¹ O tofo gotsoso, acúmulo desses cristais nos tecidos moles, é

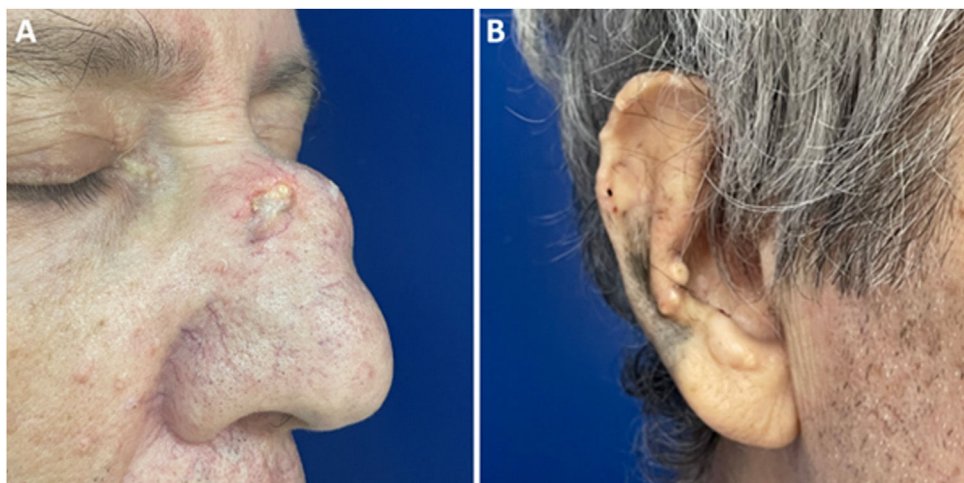


Figura 1 Aspecto clínico dos tofos gotsosos. (A) Lesão nodular ulcerada no dorso nasal. (B) Pápulas amareladas da orelha direita.

DOI do artigo original: <https://doi.org/10.1016/j.abdp.2022.12.014>

☆ Como citar este artigo: Santos BS, Maciel MAP, Valente NYS. Dermoscopy of nasal and auricular gouty tophi. An Bras Dermatol. 2024;99:615–8.

☆☆ Trabalho realizado no Hospital do Servidor Público Estadual, São Paulo, SP, Brasil.